

Макроскопический эффект тени электромагнитного поля релятивистских электронов

Г. А. Науменко¹⁾, А. П. Потылицын, Л. Г. Сухих, Ю. А. Попов, М. В. Шевелёв

НИИ ядерной физики, Томский политехнический университет, 634050 Томск, Россия

Поступила в редакцию 21 мая 2009 г.

После переработки 5 июня 2009 г.

Экспериментально исследован эффект “зоны формирования” (эффект “тени”) по изменению характеристик когерентного дифракционного излучения при прохождении релятивистского электронного сгустка вблизи двух проводящих мишней в зависимости от расстояния между ними. В экспериментах исследовалось влияние эффекта тени за поглощающим и проводящим экраном на интенсивность дифракционного излучения. В обоих случаях наблюдается одинаковое уменьшение интенсивности дифракционного излучения практически до нуля при уменьшении расстояния между источником тени и мишенью. Полученные результаты позволяют сделать вывод о неравнозначности двух трактовок наблюданного эффекта: “зоны формирования” и “эффекта тени”.

PACS: 41.60.-m, 41.75.Ht

При последовательном взаимодействии релятивистской заряженной частицы с лоренц-фактором γ с двумя и более рассеивающими центрами взаимодействие частицы с первым центром оказывает влияние на характер взаимодействия частицы с последующими центрами, если расстояние L между ними существенно меньше, чем $\gamma^2\lambda$, где λ – длина волн, характеризующая взаимодействие [1]. В цитируемой работе эффект “полуголого электрона” (терминология [1]) рассматривался в рамках квантовой электродинамики для микроскопической задачи – рассеяния релятивистского электрона на отдельных частицах или атомах. Этот эффект можно наблюдать в более длинноволновом диапазоне и для макроскопических задач, например, генерации переходного (ПИ) и/или дифракционного (ДИ) излучений в двух последовательно расположенных мишнях, что и будет рассматриваться далее. В случае ПИ и/или ДИ при расположении мишней на расстоянии L , меньшем чем $\gamma^2\lambda$, наблюдается существенное подавление интенсивности излучения от второй мишени. В работах [2, 3] этот эффект для ультрарелятивистского электрона назван “эффектом тени”.

Существуют две точки зрения на указанный эффект. Первый подход (“подход I”) к этому явлению наиболее ярко представлен в работе [4], где ослабление поля после первой мишени, которое приводит к снижению интенсивности излучения от второй мишени, рассматривается как результат деструктивной интерференции кулоновского поля релятивистского

электрона с полем ПИ или ДИ вперед от первой мишени. Этот эффект характеризуется длиной порядка $\gamma^2\lambda$, называемой “длиной формирования излучения”. Как показано в работе [5], ПИ вперед, генерируемое релятивистской частицей, пересекающей бесконечную границу раздела идеальный проводник – вакуум, обусловлено кильватерным полем (wake-field), которое наводится в идеальном проводнике.

В альтернативном подходе (“подход II”) предполагается, что при первом взаимодействии образуется “полуголый электрон” – электрон без части “фотонной шубы”, и дальнейшая эволюция электрона рассматривается как восстановление его поля на расстоянии порядка $\gamma^2\lambda$ [1, 6, 7]. Суммарное поле частицы может быть записано на выходе из идеального проводника в виде [8, 9].

$$\mathbf{A}(\mathbf{r}, t) = \mathbf{A}^{(e)}(\mathbf{r}, t) + \mathbf{A}'(\mathbf{r}, t), \quad (1)$$

где первое слагаемое в правой части совпадает с выражением для кулоновского поля частицы в вакууме, а второе – с выражением для переходного излучения.

Фурье-образ потенциала (1) можно представить в виде (формула (4) из [8])

$$\mathbf{A} = \frac{e}{2\pi^2} \operatorname{Re} \left\{ \int \frac{d^3 k}{k} \frac{\mathbf{V}}{(k - \mathbf{k}) \mathbf{V}} \left[1 - e^{-i(k - \mathbf{k} \cdot \mathbf{V})t} \right] e^{i(\mathbf{k} \cdot \mathbf{r} - \mathbf{k} \cdot \mathbf{V} t)} \right\}. \quad (2)$$

Процесс переходного излучения на “второй” мишени можно трактовать как отражение поперечной компоненты поля (2) по законам оптики. Подавление излучения от второй мишени на расстояниях $L < \gamma^2\lambda$

¹⁾e-mail: naumenko@npi.tpu.ru

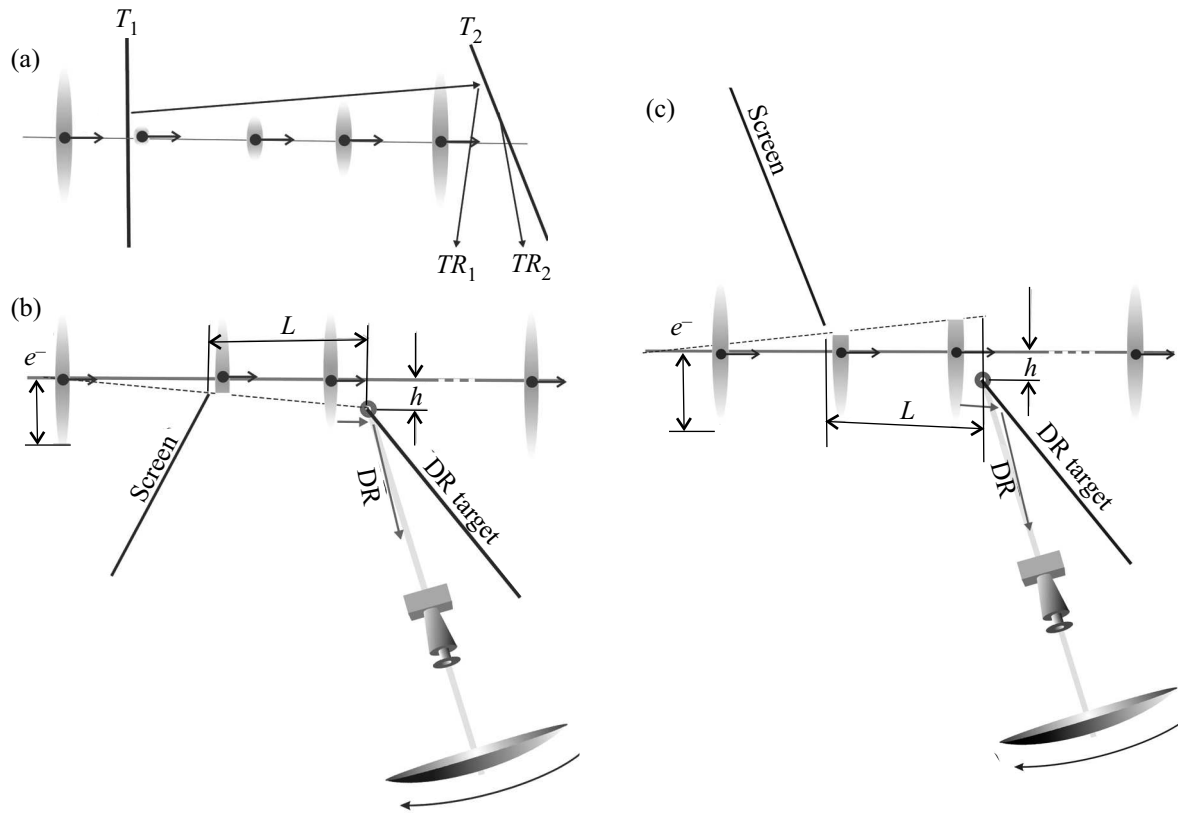


Рис.1. Схемы измерения: (а) – измерение прямого и обратного переходного излучения в работе [13]; (б) – измерение дифракционного излучения в области тени поля релятивистских электронов за проводящим экраном; (с) – измерение дифракционного излучения в случае, когда мишень и проводящий экран, создающий тень поля электронов, находятся по разные стороны от электронного пучка

рассматривается в этом случае как взаимодействие лишь “части” поля электрона со второй мишенью.

Отметим, что если в качестве первой мишени рассматривать тонкий слой материала, поглощающего излучение, то в этом подходе поле на выходе из такой мишени также будет описываться выражением (1). Ясно, что в этом случае второе слагаемое в (1) уже не будет описывать ПИ “вперед” как излучение поверхностных токов.

Следует отметить, что в работе [1] автор допускает как первую, так и вторую интерпретацию этого явления, то есть обе эти точки зрения считаются эквивалентными. Выбор первой или второй трактовки, или же подтверждение их эквивалентности интересно прежде всего с точки зрения развития фундаментальных представлений о природе электромагнитного поля заряженных частиц.

Эффект подавления ПИ в случае, когда две мишени находятся на расстоянии меньше длины формирования излучения, наблюдался еще в 70-х годах прошлого века в рентгеновском диапазоне [10, 11], однако детальных исследований зависимости подавле-

ния излучения от длины формирования не проводилось. Изменение интенсивности детектируемого излучения измерялось для различных углов наблюдения при фиксированном расстоянии между зеркалами. Целенаправленные исследования этого явления проводились при изучении когерентного ПИ в дальнем инфракрасном диапазоне в работах [12, 13] (см. рис.1а), где были измерены зависимости интенсивности излучения от расстояния между двумя мишенями. В этой работе подавление излучения рассматривается как результат деструктивной интерференции прямого ПИ (TR_1) от мишени T_1 с обратным ПИ (TR_2) от мишени T_2 при сложении их напряженностей $E_\Sigma = E_{TR_1} + E_{TR_2}$, так что суммарная интенсивность излучения будет иметь вид $W_\Sigma = 2W_{TR}\cdot\Phi$, где W_{TR} – интенсивность ПИ в дальней зоне от отдельной мишени, Φ – фазовый множитель. При этом подавление интенсивности излучения определяется, в основном, фазовым множителем:

$$\Phi = 1 - \cos \left(\frac{2\pi}{\beta\lambda} L \cdot (1 - \beta \cos \theta) \right), \quad (3)$$

где β – скорость электрона в единицах скорости света, θ – угол наблюдения относительно направления зеркального отражения, L – расстояние между зеркалами. Для релятивистских электронов при $\theta \sim \gamma^{-1}$ фазовый множитель (3) примет вид $\Phi \approx 2 \sin^2 \left(\pi \frac{L}{\gamma^2 \lambda} \right)$. В работе [13] исследовалось когерентное ПИ с длиной волны $\lambda = 2$ мм на пучке электронов с энергией 150 МэВ, то есть для $\gamma^2 \lambda = 180$ м. При $L \ll \gamma^2 \lambda$ вместо (3) имеем:

$$\Phi \approx 2\pi^2 (L/\gamma^2 \lambda)^2. \quad (4)$$

Эта зависимость в [13] была подтверждена экспериментально. Следует, однако, заметить, что выражение (4) остается справедливым в рамках подхода II [8].

Также авторами [13] были проведены измерения в случаях, когда первая мишень (см. рис.1а) T_1 была заменена на поглотитель (материал, пропускающий и отражающий не более 1% излучения в миллиметровом диапазоне). Результаты измерений показали практически полное совпадение характеристик излучения с экспериментом на проводящей мишени.

Для дальнейшего исследования этого явления нами был проведен эксперимент на выведенном электронном пучке микротрона НИИЯФ ТПУ со следующими параметрами: энергия электронов – 6.1 МэВ, длительность макро-импульса – 3 ÷ 5 мкс, частота макро-импульсов – 1 ÷ 8 Гц, длина электронного сгустка по основанию – 5 ÷ 6 мм, максимальное число электронов в электронном сгустке $N_e \approx 10^8$, число сгустков в макро-импульсе – $\approx 10^4$, размер пучка на выходе из микротрона – 4×2 мм, угловая расходимость выведенного пучка – $\sigma = 0.08$ рад. В этих условиях при $\lambda > 9$ мм ДИ имеет когерентный характер (см. [14]), что дает увеличение интенсивности излучения примерно на 8 порядков и позволяет регистрировать излучение существующими детекторами.

Область тени за поглощающим и проводящим экранами исследовалась путем измерения угловых характеристик когерентного обратного ДИ при различном расстоянии L между экраном и мишенью в геометрии, представленной на рис.1б, когда экран и мишень расположены по одну сторону от электронного пучка, причем импакт-параметр h значительно меньше $\gamma\lambda$. В качестве источника тени использовался проводящий экран из медной фольги толщиной 100 мкм. Для исключения вклада в измеряемые характеристики изменения поперечного формфактора пучка из-за его расходимости мишень была закреплена неподвижно, а изменение расстояния L обеспечивалось продольным перемещением экра-

на. Для измерения угловых характеристик излучения применялся “параболический телескоп” с детектором DP21-M [15], обеспечивающий измерения угловых распределений излучения с исключением эффекта предволновой зоны [16]. То есть спектрально-угловые характеристики измеренного излучения совпадают с характеристиками, измеренными в дальней зоне. Для подавления фона ВЧ системы ускорителя на входе детектора установлен запредельный волновод, подавляющий регистрацию излучения с длиной волны $\lambda > 17$ мм.

В эксперименте измерялась зависимость интенсивности излучения от расстояния L между экраном и мишенью и от угла наблюдения θ в геометрии, представленной на рис.1б. Измерения проводились с шагом 1° по углу θ и с шагом 20 мм по расстоянию L в диапазоне от 0 до 200 мм. Для контроля измерялись также соответствующие зависимости в геометрии, представленной на рис.1с. Очевидно, что в этой геометрии поле электрона не затеняется, и характеристики излучения не должны зависеть от расстояния L .

Для контроля экспериментальной методики было измерено угловое распределение обратного ДИ (рис.2) по схеме, представленной на рис.1б, но без

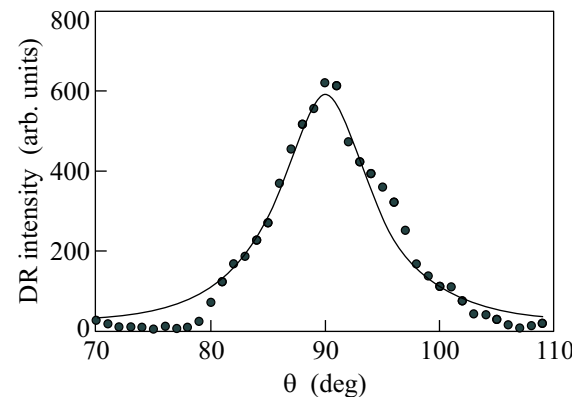


Рис.2. Измеренное угловое распределение дифракционного излучения от мишени (экспериментальные точки) и расчет по модели из [15] для условий эксперимента для $\lambda = 13$ мм – средней длины волны в измеряемом интервале (сплошная кривая)

проводящего экрана. Сравнение с расчетом, выполненным по простой модели из [17] для условий эксперимента при $\lambda = 13$ мм – средней длины волны в измеряемом интервале (сплошная кривая на рис.2), показывает хорошее согласие экспериментальных результатов с теоретическим расчетом.

На рис.3 для примера представлены 4 измеренные зависимости интенсивности обратного ДИ от угла на-

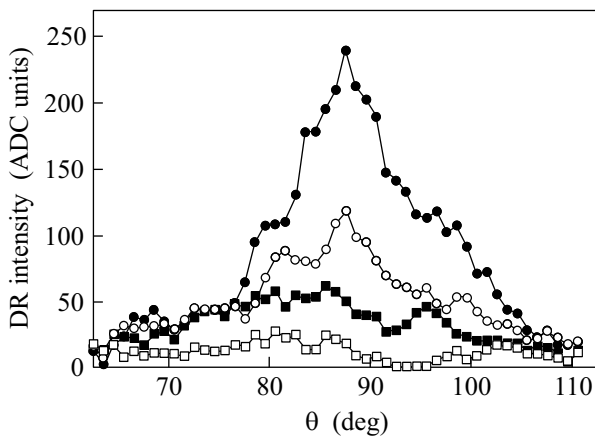


Рис.3. Пример зависимостей интенсивности обратного ДИ от угла наблюдения в плоскости излучения, измеренных по схеме (б), представленной на рис.1 при различном расстоянии от мишени до источника тени: $\square - L = 20 \text{ мм}$, $\blacksquare - L = 80 \text{ мм}$, $\circ - L = 140 \text{ мм}$, $\bullet - L = 200 \text{ мм}$

блодения θ в плоскости излучения (σ -поляризация) при различном расстоянии L . Ошибка регистрации интенсивности излучения составляла $\pm 7\%$. Аналогичные зависимости были измерены в геометрии, приведенной на рис.1с, показанные на рис.4 для рас-

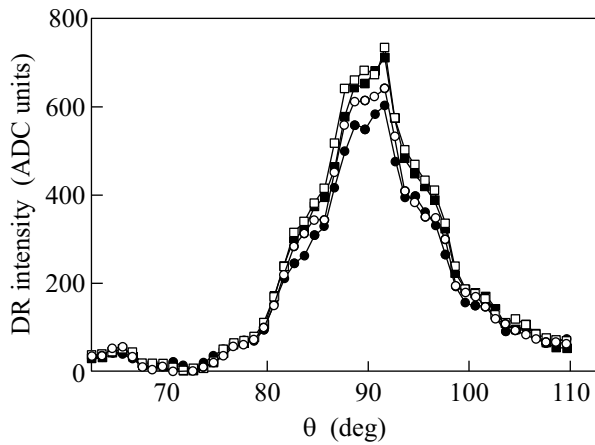


Рис.4. Пример зависимостей интенсивности обратного ДИ от угла наблюдения, измеренных по схеме (с), представленной на рис.1, при различном расстоянии от мишени до источника тени: $\square - L = 20 \text{ мм}$, $\blacksquare - L = 80 \text{ мм}$, $\circ - L = 140 \text{ мм}$, $\bullet - L = 200 \text{ мм}$

стояний, соответствующих рис.3. Сглаженные зависимости интенсивности обратного ДИ от угла наблюдения θ и расстояния L между экраном и мишенью, измеренные в геометрии рис.1б и рис.1с, приведены на рис.5а и 5б, соответственно.

Как следует из приведенных результатов, в полной аналогии с работой [8], собственное поле электро-

на после прохождения первой дифракционной мишени (при $z = 0$) можно представить в виде

$$\mathbf{A}^{(e)}(z = 0) = \frac{eV/c}{\sqrt{(Vt)^2 + (x^2 + y^2)/\gamma^2}} \Theta(y + h), \quad (5)$$

где h – импакт-параметр (в нашем случае $h = 15 \text{ мм}$), $\Theta(t)$ – ступенчатая функция Хевисайда, которая как раз и характеризует “эффект тени”. В случае ДИ второе слагаемое в (1) совпадает с выражением для дифракционного излучения (см., например, [17]).

Подавление обратного ДИ при $L \rightarrow 0$ и возрастание его при увеличении L , наблюдаемое в зависимости на рис.5а, в рамках подхода II объясняется частичной потерей электроном своего кулоновского поля и дальнейшим переходом электрона из этого “неустойчивого” состояния в “стабильное” состояние свободного электрона в вакууме. В рамках подхода I этот эффект объясняется деструктивной интерференцией поля электрона с полем ДИ от проводящего экрана в направлении движения электрона и дальнейшим разделением этих полей из-за разности скорости движения электрона и скорости распространения излучения. Экспериментальная зависимость интенсивности излучения в максимуме углового распределения как функция от L (рис.6), лежит между простой оценкой с использованием (3) для $\lambda = 13 \text{ мм}$ – средней длины волн в измеряемом интервале (пунктирная кривая на рис.6) и расчетом по модели интерференции ДИ от экрана, отраженного от мишени, с обратным ДИ от мишени (см. [3]) для геометрии эксперимента (сплошная кривая).

Подобные исследования в тех же экспериментальных условиях выполнены нами в работе [3], где в качестве экрана использовался поглотитель. На рис.7 приведены аналогичные зависимости интенсивности обратного ДИ от угла наблюдения θ и расстояния L между поглощающим экраном и мишенью, измеренные в геометрии рис.1б и рис.1с (рис.7а и 7б, соответственно).

Сравнивая зависимости, представленные на рис.5 и 7, можно заметить, что эволюция поля в области тени практически не меняется при замене поглощающего экрана на экран из проводящего материала. Этот факт указывает на возможную неравноизначность описанных выше подходов к интерпретации эффекта. Действительно, согласно, например, [4] и [18], подход I связан с генерацией ДИ поверхностными токами, возбужденными полем электрона на выходной (по ходу движения электронов) поверхности проводящего экрана. В случае же поглощающего экрана, по всей видимости, не приходится говорить о возбуждении каких-либо поверхностных токов как

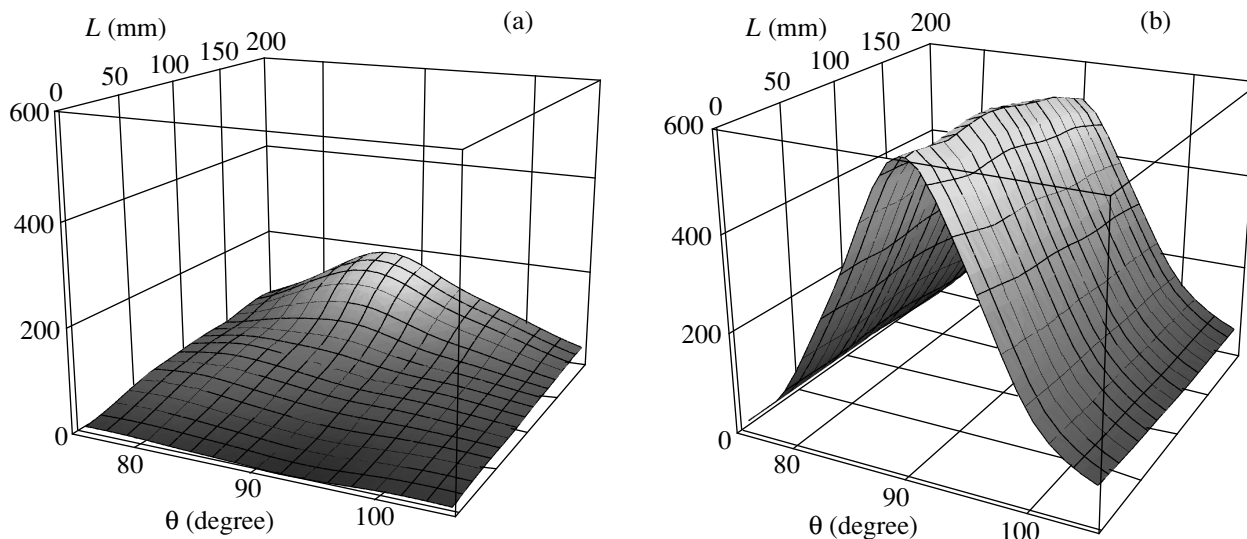


Рис.5. Сглаженная зависимость измеренной интенсивности обратного ДИ от угла наблюдения θ и расстояния L между проводящим экраном и мишенью. (а) – в геометрии, представленной на рис.1б, (б) – в геометрии, представленной на рис.1с

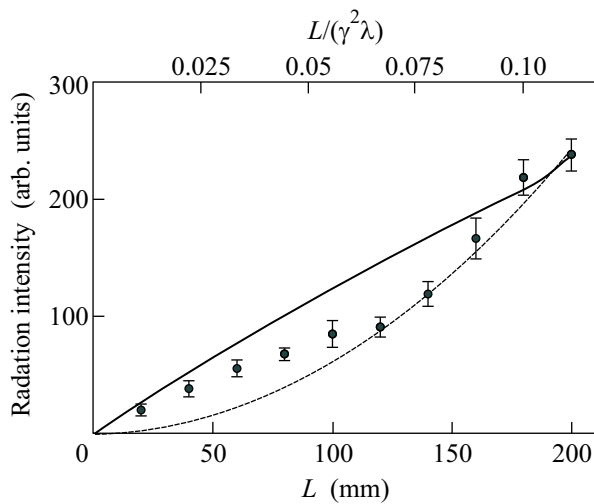


Рис.6. Экспериментальная кривая значений интенсивности излучения в максимуме углового распределения как функция от L (точки), оценка с использованием (3) для $\lambda = 13$ мм (пунктирная кривая) и расчет по модели из [11] (сплошная кривая). Расчетные кривые нормированы на экспериментальное значение при $L = 200$ мм

на входной, так и на выходной поверхностях. Таким образом, результаты экспериментов указывают на то, что подход I, по-видимому, не имеет под собой оснований, а выражение (1) описывает восстановление поля электрона, в процессе которого возникает излучение, характеристики которого в дальней зоне (в конечном состоянии) совпадают с характеристиками ПИ (или ДИ).

Работа выполнена при частичной поддержке Программы Рособразования на проведение научных исследований (2008-2012 годы).

1. Е.Л. Фейнберг, Успехи физических наук **132**, 255 (1980).
2. X. Artru and C. Ray, *Interferences between light emitted by charged particles crossing or skimming past optical fibers*, International Symposium RREPS'07, Prague, 2007.
3. G. Naumenko, X. Artru, A. Potylitsyn et al., arXiv:0901.2630v1.
4. Б.М. Болотовский, Труды физического института АН СССР, **140**, 95 (1982).
5. Dao Xiang and Wen-Hui Huang, Nucl. Inst. Meth. A **553**, 381 (2005).
6. Н.Ф. Шульга, В.В. Сыщенко, Ядерная физика **63**, 2112 (2000).
7. X. Artru, R. Chehab, K. Honkavaara et al., Nucl. Inst. Meth. B **145**, 160 (1998).
8. N. F. Shulga, S. N. Dobrovols'ky, and V. G. Syshchenko, Nucl. Inst. Meth. B **145**, 180 (1998).
9. Н.Ф. Шульга, С.Н. Добровольский, ЖЭТФ **117**, 668 (2000).
10. L. CL. Yuan, C.L. Wang, H. Uto et al., Phys. Rev. Lett. **25**, 1513 (1970).
11. M. L. Cherry, G. Hartmann, D. Muller et al., Phys. Rev. D **10**, 3594 (1974).
12. Y. Shibata, K. Ishi, T. Takahashi et al., Phys. Rev. A **45**, R8340 (1992).

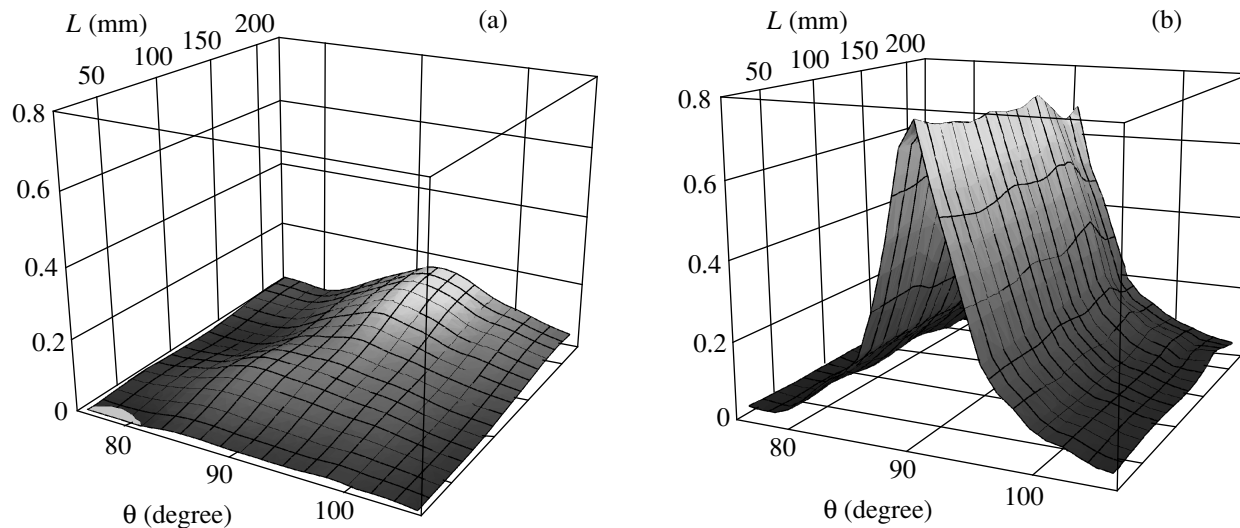


Рис.7. Сглаженная зависимость из [11] измеренной интенсивности обратного ДИ от угла наблюдения θ и расстояния L между поглощающим экраном и мишенью. (а) – в геометрии, представленной на рис.1б, (б) – в геометрии, представленной на рис.1с

- 13. Y. Shibata, K. Ishi, T. Takahashi et al., Phys. Rev. E **49**, 1 (1994).
- 14. А. Н. Алейник, А. С. Арышев, Б. Н. Калинин и др., Письма в ЖЭТФ **76**, 397 (2002).
- 15. G. A. Naumenko, B. N. Kalinin, G. A. Saruev et al., NIM B **266**, 3733 (2008).
- 16. Б. Н. Калинин, Г. А. Науменко, А. П. Потылицын и др., Письма в ЖЭТФ **84**, 136 (2006).
- 17. A. P. Potylitsyn, NIM B **145**, 169 (1998).
- 18. А. П. Казанцев, Г. И. Сурдукович, ДАН СССР **147**, 1 (1962).